

Zodiac 算法新的不可能差分攻击*

李超^{1,2}, 魏悦川^{2,3}

(1. 国防科技大学理学院, 湖南长沙 410073;
2. 国防科技大学计算机学院, 湖南长沙 410073;
3. 中国科学院软件研究所, 北京 100039)

摘要:重新评估了 Zodiac 算法抵抗不可能差分攻击的能力。通过分析 Zodiac 算法的线性层, 给出了 Zodiac 算法两条新的 14 轮不可能差分。利用新的不可能差分, 结合 Early - Abort 技术对完整 16 轮的 Zodiac 算法进行了不可能差分攻击。攻击过程中一共恢复 6 个字节的密钥, 其时间复杂度只有 $2^{32.6}$ 次加密, 数据复杂度约为 $2^{85.6}$ 个明文, 该攻击结果与已有最好的结果相比, 时间复杂度降低了一个因子 2^{33} 。结果表明由于 Zodiac 算法线性层的扩散性差, 使得该算法对不可能差分分析是不免疫的。

关键词: Zodiac; 不可能差分攻击; 攻击复杂度

中图分类号: TN918 **文献标志码:** A **文章编号:** 1001 - 2486(2012)05 - 0132 - 05

New impossible differential cryptanalysis of Zodiac

LI Chao^{1,2}, WEI Yuechuan^{2,3}

(1. College of Science, National University of Defense Technology, Changsha 410073, China;
2. College of Computer, National University of Defense Technology, Changsha 410073, China;
3. Institute of Software, Chinese Academy of Sciences, Beijing 100039, China)

Abstract: The security of block cipher Zodiac against impossible differential cryptanalysis was re-evaluated. By analyzing the properties of diffusion layer P, two new 14-round impossible differentials of Zodiac were introduced. Based on the new impossible differential characteristics and combining with the Early-Abort technique, an effective attack was applied to the full 16-round Zodiac, and the data complexity was $2^{85.6}$ chosen plaintexts and the time complexity is only $2^{32.6}$ encryptions. Compared with the previous best result, the time complexity in this paper decreases with a factor of 2^{33} . The result shows that Zodiac is vulnerable to impossible differential cryptanalysis due to its poor diffusion.

Key words: Zodiac; impossible differential; attack complexity

不可能差分分析是差分密码分析的一个变种, 这个概念由 Biham 和 Knudsen 分别独立提出^[1-2]。通常的差分分析方法通过寻找高概率差分来恢复密钥, 不可能差分则与之相反, 寻找的是不可能出现的差分, 若某个猜测密钥能使不可能差分出现, 则一定是错误密钥, 从而淘汰。不可能差分攻击是对分组密码比较有效的攻击之一, 它是当前对简化轮数的 Rijndael 算法和 Camellia 算法等最有效的攻击手段^[3-6]。

Zodiac 算法^[7]是韩国学者为 SoftForm 公司开发的一个分组密码, 该密码于 2000 年被提交至 ISO/IEC JTC1/SC27 - Korea。Zodiac 采用 128 比特分组, 其结构为传统的 Feistel 结构, 支持 128/192/256 比特的密钥。与 DES 算法类似, 该算法对输入明文和输出密文采用了相应的初始置换和输出变换。Zodiac 算法共迭代 16 次轮变换, 每一

轮变换均由密钥加变换、线性 P 变换以及非线性 S 盒变换组成。Zodiac 的线性层 P 的扩散性较差, 是该算法的一个主要弱点, 目前对 Zodiac 最有效的两种分析方法, 不可能差分分析^[8-10]和 Square 攻击^[9,11-12]都是基于这一特点进行的。

算法提出后, 密码学界对 Zodiac 抗已知攻击的能力做了评估。Hong 等^[8]学者指出, Zodiac 算法存在 14 轮和 15 轮不可能差分, 利用 14 轮不可能差分对完整 16 轮的 Zodiac 算法成功实施了不可能差分攻击, 然而该攻击的效率不是很高, 时间复杂度为 2^{119} 。由于找到的不可能差分的形式对攻击效率有很大的影响, 虽然 Zodiac 算法的 15 轮不可能差分存在, 但是应用该不可能差分却很难实施攻击。2009 年, Shakiba 给出了两条具有更高攻击效率的 13 轮不可能差分^[10], 利用其攻击完整 16 轮 Zodiac 的时间复杂度降为 $2^{65.3}$ 。

* 收稿日期: 2012 - 03 - 02

基金项目: 国家自然科学基金资助项目(61070215, 61103192); 信息安全国家重点实验室开放基金资助项目(01 - 02 - 5)

作者简介: 李超(1966—), 男, 湖南汨罗人, 教授, 博士, 博士生导师, E-mail: lichao_nudt@sina.com

本文进一步研究了 Zodiac 算法抵抗不可能差分攻击的能力,给出了两条新的 14 轮不可能差分,在此基础上,对完整 16 轮的 Zodiac 算法进行了攻击,进而给出了对 Zodiac 算法新的攻击结果。其攻击效率与原有结果相比,数据复杂度有所升高,而时间复杂度有了较大幅度下降。

1 Zodiac 算法介绍

1.1 符号说明

P, P' :128 比特输入明文对;

C, C' :128 比特输出密文对;

$X_i^L = (X_{i,0}^L, X_{i,1}^L, \dots, X_{i,7}^L)$:第 i 轮输出的左半部分;

$X_i^R = (X_{i,0}^R, X_{i,1}^R, \dots, X_{i,7}^R)$:第 i 轮输出的右半部分;

$K_i = (K_{i,0}, K_{i,1}, \dots, K_{i,7})$:第 i 轮轮密钥;

a, b, \dots :差分为非零的字节;

A, B, \dots :差分为任意值的字节;

?:差分为未知或者不必关心的字节。

1.2 算法介绍

Zodiac 算法采用传统的 Feistel 型结构,通过迭代 16 轮轮函数构成。在第一轮之前和最后一轮之后分别有初始变换和输出变换,并且在迭代前后分别异或于一个白化密钥,由于初始变换、输出变换以及白化密钥不影响本文的分析,因此在本文的描述和分析中都不考虑这两个变换和白化密钥的影响。

设 Zodiac 算法的输入为 $P = (X_0^L, X_0^R) \in (F_2^{64})^2$,则 Zodiac 算法第 1 到 16 轮变换定义如下:

$$\begin{cases} X_i^L = F(X_{i-1}^L \oplus K_i) \oplus X_{i-1}^R, \\ X_i^R = X_{i-1}^L, \end{cases} \quad (1 \leq i \leq 16)$$

(X_{16}^L, X_{16}^R) 即为明文 P 对应的密文。轮函数定义为 $F(X) = S(P(X))$ 。其中,线性层 P 可以表示为 F_2 上的矩阵,如下所示。

$$P = \begin{pmatrix} 0 & 0 & 1 & 1 & 1 & 0 & 0 & 0 \\ 1 & 1 & 0 & 0 & 0 & 0 & 0 & 0 \\ 0 & 1 & 1 & 0 & 0 & 0 & 0 & 0 \\ 0 & 0 & 1 & 1 & 0 & 0 & 0 & 0 \\ 1 & 0 & 0 & 0 & 0 & 0 & 1 & 1 \\ 0 & 0 & 0 & 0 & 1 & 1 & 0 & 0 \\ 0 & 0 & 0 & 0 & 0 & 1 & 1 & 0 \\ 0 & 0 & 0 & 0 & 0 & 0 & 1 & 1 \end{pmatrix}$$

图 1 为 Zodiac 轮函数的示意图,其中 S_1 和 S_2 均为非线性变换(S 盒)。由于本文不考虑轮密钥

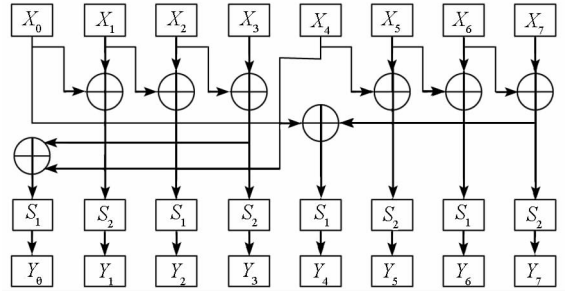


图 1 Zodiac 算法的轮函数

Fig. 1 Round function of Zodiac

之间的影响,因此我们不介绍密钥扩展算法。

1.3 扩散层的对称性质

文献[10]通过研究矩阵 P 的性质指出,在只考虑字节是否为零而不考虑字节具体值(即截断差分)的情形下,Zodiac 算法具有如下对称性质。

性质 1^[10] 若 $(\Delta X_L^L | \Delta X_R^L, \Delta X_L^R | \Delta X_R^R) \rightarrow (\Delta Y_L^L | \Delta Y_R^L, \Delta Y_L^R | \Delta Y_R^R)$ 是 Zodiac 算法的 n 轮截断差分,则 $(\Delta X_R^L | \Delta X_L^L, \Delta X_R^R | \Delta X_L^R) \rightarrow (\Delta Y_R^L | \Delta Y_L^L, \Delta Y_R^R | \Delta Y_L^R)$ 是一条 n 轮截断差分。

由性质 1,可以得到以下推论:

推论 1 若 $(\Delta X_L^L | \Delta X_R^L, \Delta X_L^R | \Delta X_R^R) \rightarrow (\Delta Y_L^L | \Delta Y_R^L, \Delta Y_L^R | \Delta Y_R^R)$ 是 Zodiac 算法的 n 轮不可能差分,且这一不可能差分由中间矛盾的两条截断差分连接而成,则 $(\Delta X_R^L | \Delta X_L^L, \Delta X_R^R | \Delta X_L^R) \rightarrow (\Delta Y_R^L | \Delta Y_L^L, \Delta Y_R^R | \Delta Y_L^R)$ 也是一条 n 轮不可能差分。

2 新的 14 轮不可能差分区分离器

本节考虑 Zodiac 算法的不可能差分。

定理 1 以下两条差分

$$\begin{aligned} &(00000AAA, BBBB0CDE) \rightarrow \\ &(00000FFF, 00000000), \\ &(0AAA0000, 0CDEBBBB) \rightarrow \\ &(0FFF0000, 00000000) \end{aligned}$$

是 Zodiac 算法的两条 14 轮不可能差分,其中 $E \neq B \oplus D$ 。

证明 设算法的输入差分为 $(00000AAA, BBBB0CDE)$,其中 $E \neq B \oplus D$,根据算法流程可知,第 2 轮中 P 变换的输出为 $(0000B \oplus D \oplus E???)$,其中 $B \oplus D \oplus E \neq 0$,因而该轮 F 函数的输出具有 $(0000a???)$ 的形式,继续迭代得到 $\Delta X_6 = (??? f????, ?? d \oplus BB????)$ 。再考虑解密方向,第 14 轮差分为 $(00000FFF, 00000000)$,则解密 8 轮,得到 $\Delta X_6 = (??? 0????, ?????????)$ 。由加密方向看 $\Delta X_{6,3} \neq 0$,而由解密方向看 $\Delta X_{6,3} = 0$,相互矛盾,因此是 Zodiac 算法的不可能差分。图 2 给出了算法流程中每一轮的差分。

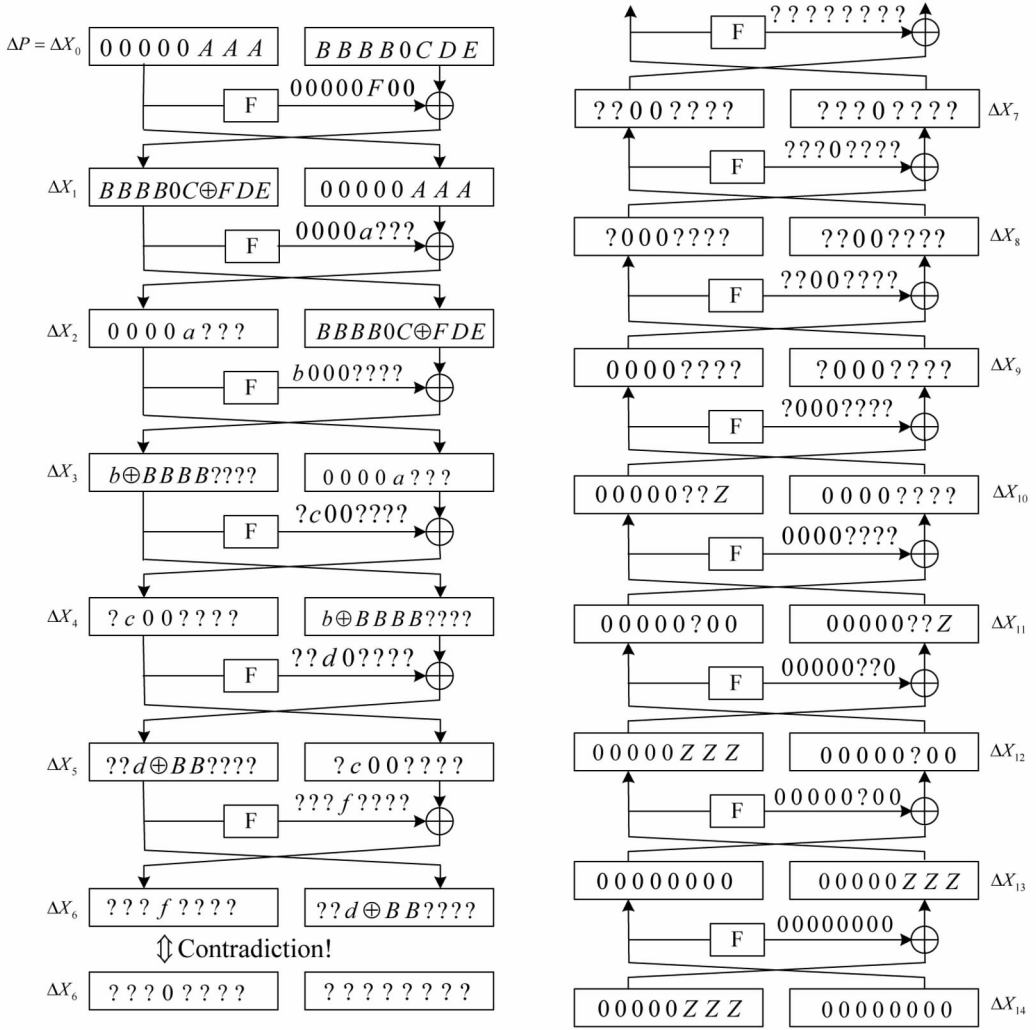


图 2 Zodiac 算法的 14 轮不可能差分

Fig. 2 14-round impossible differential of Zodiac

由推论 1, 可以直接得到

$(0AAA0000, 0CDEBBBB) \rightarrow$

$(0FFF0000, 00000000)$

也是一条不可能差分。

3 对完整 16 轮 Zodiac 算法的不可能差分攻击

3.1 攻击过程描述

基于上述 14 轮不可能差分区分器, 在末尾加上两轮, 可以得到对完整 16 轮 Zodiac 算法的不可能差分攻击, 见图 3。在攻击中, 假设轮密钥是随机的。令 Λ_1 为 $K_{16,6}$ 和 $K_{16,7}$ 所有的可能值构成的密钥空间, Λ_2 为 $K_{15,6}$ 所有的可能值构成的密钥空间。

首先, 基于 ID-I, 给出如下攻击过程。攻击过程如图 3 左部分所示。

Step 1 选择明文结构, 使得

$$X_0^L = (c_0 c_1 c_2 c_3 c_4 x_0 x_0 x_0),$$

$$X_0^R = (x_1 x_1 x_1 x_1 c_5 x_2 x_3 x_4)$$

其中 $c_i (0 \leq i \leq 5)$ 为 F_2 上的常量, $x_i (0 \leq i \leq 4)$ 遍历 F_2^8 , 因而从该结构中选择出的明文其差分具有 $\Delta P = (00000AAA, BBBB0CDE)$ 的形式。每个结构中包含的明文量为 $2^{8 \times 5} = 2^{40}$, 可以形成 $2^{40} \times (2^{40} - 1) / 2 \approx 2^{79}$ 个明文对。另外, 为满足 $E \neq B \oplus D$, 需要过滤掉使 $x_1 \oplus x'_1 = x_3 \oplus x'_3 \oplus x_4 \oplus x'_4$ 成立的明文对, 这种明文对的数量约为 $(2^8 \times (2^8 - 1))^2 \times 2^8 \approx 2^{40}$, 因此有用的明文对数量约为 $2^{79} - 2^{40} \approx 2^{79}$ 。

Step 2 将密文差分不满足 $(00000? 00, 00000?? Z)$ 形式的明密文对过滤掉, 只保存剩余的对。

Step 3 对于每个 $\lambda_1 \in \Lambda_1$, 对 Step 2 中剩余的密文进行一轮解密, 获得 $X_{15,5}^R$ 和 $X_{15,5}^R$, 以及 $X_{15,6}^R$ 和 $X_{15,6}^R$;

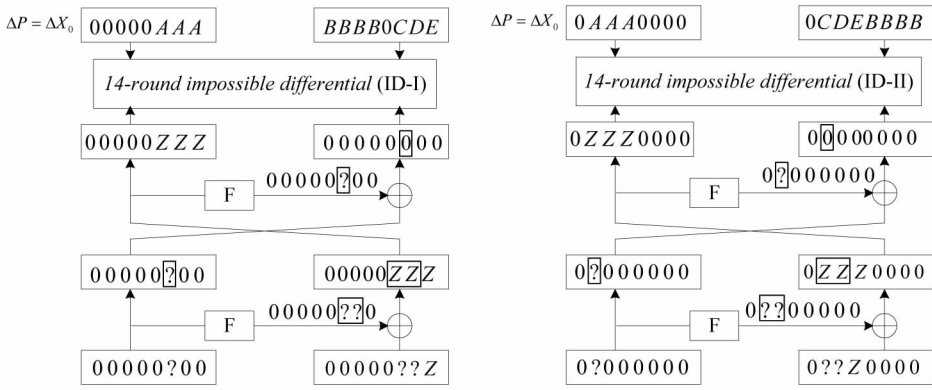


图3 对16轮 Zodiac 算法的不可能差分攻击

Fig.3 Impossible differential cryptanalysis of 16 - round Zodiac

如果 $\Delta X_{15,5}^R = Z$ 且 $\Delta X_{15,6}^R = Z$, 对于每个 $\lambda_2 \in \Lambda_2$, 对第15轮的输出进行一轮解密, 获得 $X_{14,5}^R$ 和 $X_{14,6}^R$, 如果 $\Delta X_{14,5}^R = 0$, 则从密钥空间 (Λ_1, Λ_2) 中去除 (λ_1, λ_2) 。

Step 4 判断密钥空间中剩余元素的个数 $|(\Lambda_1, \Lambda_2)| \leq 1$ 是否成立, 若成立, 结束该过程, 否则从 Step 2 中选择下一个明密文对进行 Step 3 操作。剩余的密钥作为正确的 $K_{16,5}, K_{16,6}, K_{15,5}$ 。

利用 ID - II, 可以进行相似的攻击过程, 恢复出 $K_{16,1}, K_{16,2}$ 和 $K_{15,1}$, 见图3的右半部分。为降低复杂度, 利用 early abort 技术, 将 Step 3 中的操作作如下改进。

Step 3* 对于每个 $\lambda_{1,5} \in \Lambda_1$, 对 Step 2 中剩余的密文进行一轮解密, 获得 $X_{15,5}^R$ 和 $X_{15,6}^R$, 如果 $\Delta X_{15,5}^R = Z$, 则对于每个 $\lambda_{1,6} \in \Lambda_1$, 对密文进行一轮解密, 获得 $X_{15,6}^R$ 和 $X_{15,6}^R$, 若 $\Delta X_{15,6}^R = Z$, 对每个 $\lambda_{2,5} \in \Lambda_2$, 对上述15轮输出进行一轮解密, 获得 $X_{14,5}^R$ 和 $X_{14,6}^R$, 如果 $\Delta X_{14,5}^R = 0$, 则从密钥空间 (Λ_1, Λ_2) 中去除 (λ_1, λ_2) 。

3.2 复杂度分析

在上述攻击过程中, 利用一条不可能差分可以恢复3个字节的密钥, 密钥空间为 2^{24} , 密钥通过检测的平均概率为 $1 - 2^{-24}$, Step 2 中过滤密文之后剩余的对数 N 需满足 $2^{24} \times (1 - 2^{-24})^N \approx 1$, 故 $N = 2^{28.6}$ 。过滤密文时满足差分为 $(00000?00, 00000??Z)$ 的概率为 2^{-96} , 因此选择的明密文对数量为 $N \times 2^{96} = 2^{124.6}$, 又因为一个结构中约有 2^{79} 个明文对, 所以需要选择 $2^{124.6} / 2^{79} = 2^{45.6}$ 个结构, 综上, 该攻击的选择明文量为 $2^{45.6} \times 2^{40} = 2^{85.6}$ 。

时间复杂度可以通过下式计算:

$$(2/16) \times (2^{28.6} \times (2^8 + 2^{16} \times (1/2^8))) + 2^{24} \times$$

$(1/2^8)^2 \times \sum_{i=0}^{2^{29}-1} (1 - (1/2^8)^3)^i \approx 2^{34.6}$, 即攻击需要 $2^{34.6}$ 次 S 盒计算, 一次 S 盒计算相当于 $1/8$ 轮加密, 考虑到基于 ID - II 的攻击复杂度与基于 ID - I 的攻击复杂度相同, 因此, 为恢复出6个字节密钥 $K_{16,1}, K_{16,2}, K_{16,5}, K_{16,6}, K_{15,1}, K_{15,5}$, 本文攻击的时间复杂度约为 $(2 \times 2^{34.6}) / 8 = 2^{32.6}$ 次一轮加密。

4 结论

本文对 Zodiac 算法的安全性进行了进一步的评估。发现了该算法两条新的14轮不可能差分, 基于这两条不可能差分 and Early - Abort 攻击技术, 给出了对完整16轮 Zodiac 算法的不可能差分攻击, 对现有结果进行了改进, 使时间复杂度大大下降。然而本文的数据复杂度仍然较高, 在现有存储条件下, 现实破译仍然存在困难。表1总结了对 Zodiac 攻击的现有结果。由于不可能差分的形式对攻击效率有很大影响, 因此, 如何寻找更加有效的不可能差分, 降低数据复杂度以实现 Zodiac 的现实破译, 还有待进一步研究。

表1 对 Zodiac 算法的现有攻击结果

Tab.1 The cryptanalytic results of Zodiac

| 攻击轮数 | 恢复密钥字节数 | 数据复杂度 | 时间复杂度 | 攻击类型 | 文献出处 |
|------|---------|-------------|-------------|-----------|------|
| 16 | 9 | $2^{103.6}$ | 2^{119} | Imp. Diff | [8] |
| 16 | 32 | $2^{16.5}$ | $2^{221.7}$ | Square | [11] |
| 16 | 23 | $2^{12.6}$ | $2^{189.5}$ | Square | [12] |
| 16 | 23 | 2^{16} | 2^{190} | Integral | [9] |
| 16 | 14 | $2^{71.3}$ | $2^{65.3}$ | Imp. Diff | [10] |
| 16 | 6 | $2^{85.6}$ | $2^{32.6}$ | Imp. Diff | 本文 |

参考文献 (References)

[1] Biham E, Biryukov A, Shamir A. Cryptanalysis of skipjack reduced to 31 rounds using impossible differentials[C]//Stern

- J eds. Eurocrypt 1999, LNCS, Springer, Heidelberg, 1999, 1592: 12 - 23.
- [2] Knudsen L. DEAL—a 128-bit block cipher[R]. Technical Report 151, Department of Informatics, University of Bergen, Bergen, Norway, 1998.
- [3] Wu W, Zhang L, Zhang W. Improved impossible differential cryptanalysis of reduced-round camellia [C]//Avanzi R, Keliher L, Sica F eds. SAC 2008, LNCS, Springer, Heidelberg, 2009, 5381: 442 - 456.
- [4] Zhang W, Wu W, Feng D. New results on impossible differential cryptanalysis of reduced AES [C]//ICISC 2007, LNCS, Springer, Heidelberg, 2007, 4817: 239 - 250.
- [5] Mala H, Shakiba M, Dakhilalian M, et al. New results on impossible differential cryptanalysis of reduced-round camellia [C]//SAC 2009, LNCS, Springer, Heidelberg, 2009, 5867: 281 - 294.
- [6] Wang W, Wang X. Impossible differential cryptanalysis of CLEFIA - 128/192/256 [J]. Journal of Software, 2009, 20(9): 2587 - 2596.
- [7] Lee C, Jun K, Jung M, et al. Zodiac version 1.0 (revised) architecture and specification[R]. Standardization Workshop on Information Security Technology. Korean Contribution on MP18033, ISO/IEC JTC1/SC27 N2563. <http://www.kiss.or.kr/seed/index.html>.
- [8] Hong D, Sung J, Moriai S, et al. Impossible differential cryptanalysis of Zodiac [C]//FSE 2001, LNCS, Springer, Heidelberg, 2002, 2355: 300 - 311.
- [9] 孙兵, 张鹏, 李超. Zodiac 算法的不可能差分 and 积分攻击[J]. 软件学报, 2011, 22(8): 1911 - 1917.
- SUN Bing, ZHANG Peng, LI Chao. Impossible differential and integral cryptanalysis of Zodiac [J]. Journal of Software. 2011, 22(8): 1911 - 1917. (in Chinese)
- [10] Shakiba M, Dakhilalian M, Mala H. An improved impossible differential cryptanalysis of Zodiac [J]. Journal of Systems and Software. 2010, 83: 702 - 709.
- [11] Ji W, Hu L. Square attack on reduced-round Zodiac cipher [C]//ISPEC 2008, LNCS, Springer, Heidelberg, 2008, 4991: 377 - 391.
- [12] 张鹏, 李瑞林, 李超. Zodiac 算法新的 Square 攻击[J]. 电子与信息学报, 2010, 32(11): 2790 - 2794.
- ZHANG Peng, LI Ruilin, LI Chao. New square attack on Zodiac [J]. Journal of Electronics & Information Technology, 2010, 32(11): 2790 - 2794. (in Chinese)
-
- (上接第 67 页)
- [4] Carevic D. Automatic estimation of multiple target positions and velocities using passive TDOA measurements of transients [J]. IEEE Transactions on Signal Processing, 2007, 55(2): 424 - 436.
- [5] Obozreniyev V. The U.S. navy's "white cloud" space borne ELINT system [J]. Foreign Military Review, 1993(7): 57 - 60.
- [6] Foy W H. Position-location solutions by Taylor-series estimation [J]. IEEE Transactions on Aerospace and Electronic Systems, 1976, 12(2): 187 - 194.
- [7] Torrieri J D. Statistical theory of passive location systems [J]. IEEE Transactions on Aerospace and Electronic Systems, 1984, 20(2): 183 - 198.
- [8] Mellen G, Pachter M, Raquet J. Closed-form solution for determining emitter location using time difference of arrival measurements [J]. IEEE Transactions on Aerospace and Electronic Systems, 2003, 39(3): 1056 - 1058.
- [9] Ho K C, Chan Y T. Solution and performance analysis of geolocation by TDOA [J]. IEEE Transactions on Aerospace and Electronic Systems, 1993, 26(5): 748 - 753.
- [10] 谢恺, 钟丹星, 邓新蒲, 等. 一种空间时差定位的新算法 [J]. 信号处理, 2006, 22(2): 129 - 135.
- XIE Kai, ZHONG Danxing, DENG Xinpu, et al. A new algorithm for the time difference location in aerospace [J]. Signal Processing, 2006, 22(2): 129 - 135. (in Chinese)
- [11] 刘海军, 叶浩欢, 柳征, 等. 基于星载干涉仪测向的辐射源定位综合算法 [J]. 国防科技大学学报, 2009, 31(6): 110 - 114.
- LIU Haijun, YE Haohuan, LIU Zheng, et al. Integration algorithm of emitter location based on satellite-borne interferometer [J]. Journal of National University of Defense Technology, 2009, 31(6): 110 - 114. (in Chinese)
- [12] 刘林, 范平志, 邓平. 基于 GDOP 加权的 GSM 移动台位置估计数据融合 [J]. 电波科学学报, 2007, 22(3): 486 - 490.
- LIU Lin, FAN Pingzhi, DENG Ping. Data fusion based on GDOP weighting for GSM mobile position estimation [J]. Chinese Journal of Radio Science, 2007, 22(3): 486 - 490. (in Chinese)
- [13] 钟丹星, 邓新蒲, 周一宇. 基于 WGS - 84 椭球模型的卫星测时差定位精度分析 [J]. 电子对抗技术, 2002, 17(5): 18 - 21.
- ZHONG Danxing, DENG Xinpu, ZHOU Yiyu. Precision analysis of satellites DTOA location based on WGS-84 ellipsoid model [J]. Chinese Journal of Electronic Countermeasure Technology, 2002, 17(5): 18 - 21. (in Chinese)
- [14] Kay S M. Fundamentals of statistical signal processing: estimation theory [M]. New Jersey: Prentice Hall PTR, 1993.
- [15] Zhang D Q, Chang S F. Detecting image near-duplicate by stochastic attributed relational graph matching with learning [C] //Proceedings of ACM Multimedia, 2004: 877 - 884.